

CIA


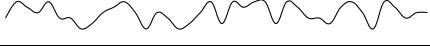

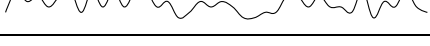
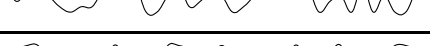
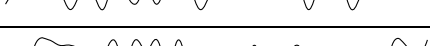
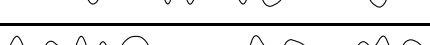
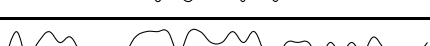
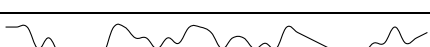
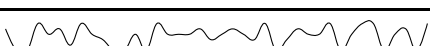
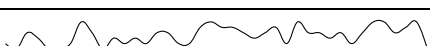
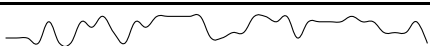





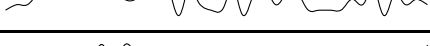
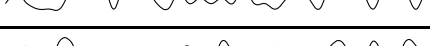
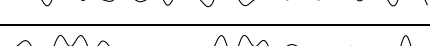
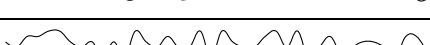
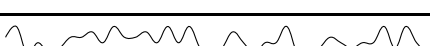
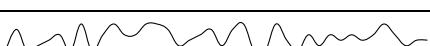








CENTRAL INTELLIGENCE AGENCY





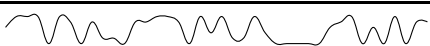
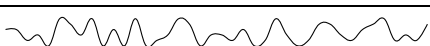

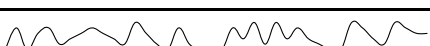
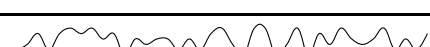

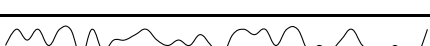
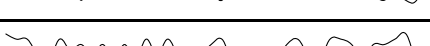
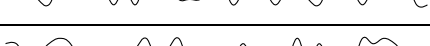
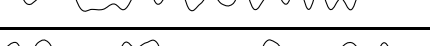
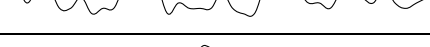
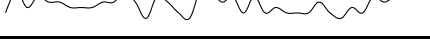

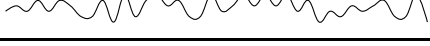








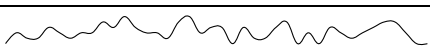
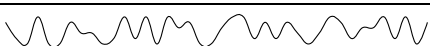



Operace: GHOST VERTEX

Lokace: Základna CIA, Hoštejn

ID: 0347285191

Datum	Čas	Záznam signálu	Zaznamenané lokace
2022/02/04	19:53:11		D11, F9, F20, I15
2022/02/06	09:58:16		G9, R9, D15, M22
2022/02/10	16:09:28		T9, K7, T20, I24, I13
2022/02/12	01:50:18		Z18, R7, X19, R2, Z12
2022/02/13	01:34:53		T5, X13, W25, R9, N21
2022/02/15	03:08:37		C24, R9, X1, Q22, Y21, Z2
2022/02/15	19:54:00		W20, Y13, Q17, R21, S9, H4
2022/02/16	21:23:13		Z1, I10, V15, W14, G15
2022/02/19	21:26:42		N21, N24, Y5, J14, U25
2022/02/21	10:20:53		A18, V24, G7, L7
2022/02/21	11:15:07		Y16, O21, A10, J14, D10, E9
2022/02/22	07:44:59		E17, K14, P1, M10
2022/02/23	20:53:57		J25, E17, P3, F14
2022/02/26	17:45:48		G17, Y24, N7, M24, V4
2022/02/27	05:30:36		N16, C18, P6, X1, H6, C19
2022/03/01	19:24:36		V20, V7, N18, T11, D26, Y15
2022/03/03	03:50:51		K25, D17, G6, Y21
2022/03/05	14:26:33		A10, D16, G10, N1, R1
2022/03/08	11:15:15		F2, T15, I17, U19
2022/03/12	02:12:50		R2, F8, Z9, D6, I8, J14
2022/03/25	19:36:31		L24, R25, E17, R11, S14
2022/03/27	07:41:07		C5, B25, C18, I21
2022/03/30	01:56:59		C24, J14, N18, O17
2022/03/31	16:20:51		Y15, V1, B9, W22, M17, Z5
2022/04/09	00:11:21		Q2, O26, I23, Q1, Z5, B4
2022/04/09	02:09:44		G14, Q26, X14, V9
2022/04/11	06:02:05		M16, X11, E18, T6
2022/04/19	04:39:56		W7, B12, X21, D3, U25, K8
2022/04/22	03:01:05		A13, Z25, O17, K20, S5, J2
2022/04/24	01:50:25		M10, E6, S16, V3, J22
2022/04/29	07:03:07		E24, I10, X5, R9

Datum	Čas	Záznam signálu	Zaznamenané lokace
2022/04/29	14:54:55		X4, H19, H3, G7
2022/04/30	01:32:24		Y14, E8, K10, J24, V10
2022/04/30	23:01:40		X16, S9, D14, Y15, R2, J18
2022/05/02	11:56:19		K14, I17, Y21, M12, K9
2022/05/08	02:44:57		X17, K16, R9, D14
2022/05/13	09:58:27		A9, Q10, M7, Y17
2022/05/16	05:53:23		N10, A13, S11, D5
2022/05/19	14:54:19		N8, Z5, Y26, J23, D6, G17
2022/05/21	19:20:39		K8, E25, I5, T6, D20
2022/05/24	15:21:20		R22, O15, D2, B1, D11
2022/05/24	17:09:32		Z10, Y15, N10, X3, O10, Y17
2022/05/25	19:45:44		E16, B19, O5, H23, B12
2022/05/25	21:34:25		I26, K16, I22, E1
2022/05/29	21:52:35		O14, Y15, G3, G26
2022/06/03	07:44:19		V21, N18, E13, Y18, T25
2022/06/05	15:03:26		L20, V4, F6, V24, F5, E17
2022/06/06	21:12:59		J21, B16, N21, R23
2022/06/13	07:45:05		V18, W8, U3, O24, L10, S24
2022/06/18	14:05:15		P9, S23, A7, W5, S6
2022/06/19	04:08:18		V13, C24, V2, Y20
2022/06/19	11:46:58		K1, F13, O15, X20, T10, H22
2022/06/21	02:50:30		N7, J21, W10, Z24, D7
2022/06/25	18:10:23		V17, W2, Y4, S14
2022/06/26	14:39:38		A11, F14, C2, S14, G21, S3
2022/07/10	22:26:28		O21, I21, E20, B4, R5
2022/07/12	06:20:05		Y3, F3, E2, Q26
2022/07/20	01:10:44		X4, N17, D17, U10
2022/07/30	03:50:02		T2, X15, K22, V20
2022/07/30	05:22:24		S6, A4, M4, L4

OPERACE HEXAHEDRON

Operace Hexahedron slouží k monitorování elektromagnetického záření v radiovém spektru vyzařovaného Objektem. V okolní oblasti bylo ve dnech 4. – 6. 8. 2022 vybudováno celkem 6 měřících stanic, které jsou strategicky rozmístěny, aby eliminovaly rušení způsobené hustým lesním porostem.

K dosažení maximální přesnosti je nutné potvrdit zdrojovou lokaci požadovaného signálu na 3 měřících stanicích. Korektní oblast původu záření je ta, která byla naměřena každou z těchto 3 stanic.